The 9th International Conference in Deep Learning in Computational Physics, July, 2-4, 2025, Moscow, Russia

# USING MACHINE LEARNING METHODS FOR JOINT PROCESSING OF DATA FROM MULTIPLE SEMICONDUCTOR GAS SENSORS\*

Isaev I.V.<sup>1,2,3</sup>, Chernov K.N.<sup>4</sup>, Dolenko S.A.<sup>1</sup>, Krivetskiy V.V.<sup>2,5</sup>

<sup>1</sup> D.V. Skobeltsyn Institute of Nuclear Physics, M.V. Lomonosov Moscow State University,

<sup>2</sup> Scientific-Manufacturing Complex Technological Centre,

<sup>3</sup> MIREA – Russian Technological University,

<sup>4</sup> Physics Department, M.V. Lomonosov Moscow State University

<sup>5</sup> Chemistry Department, M.V. Lomonosov Moscow State University

\* The study was carried out at the expense of the grant No. 22-19-00703-P from the Russian Science Foundation.

https://rscf.ru/en/project/22-19-00703/.

## Области применения

- Промышленность
  - Безопасность технологических процессов
  - Средства индивидуальной защиты персонала
- □ Экологический мониторинг
  - Оценка качества воздуха городов, промышленных зон, транспорта, жилых и рабочих помещений
- □ Медицина
  - Неинвазивная медицинская диагностика и контроль течения болезней
  - Контроль эффективности спортивных тренировок
- □ Экспресс анализ качества, оригинальности, свежести продуктов питания и напитков на основе их запаха.



### Существующие технические решения

Принципы работы газоаналитических датчиков:

- □ Термокаталитический
  - Измерение количества тепла выделяемого при сгорании газа на катализаторе
- □ Термокондуктивный
  - Измерение разницы теплопроводности
- Электрохимический и гальванический
  - Измерение силы тока, возникающего при химических процессах в электролите
- Оптический
  - Инфракрасный (ИК-поглощение), интерферометрический, фотоионизационный (УФ)
- □ Полупроводниковый
  - Измерение изменения сопротивления полупроводника при абсорбции газов

### Существующие технические решения

Преимущества полупроводниковых сенсоров:

- □ Возможность длительной непрерывной работы
  - Не имеют расходующихся частей в отличии от электрохимических сенсоров
- □ Более низкий предел обнаружения газов
  - По сравнению с оптическими и термокаталитическими сенсорами
- □ Широкий спектр детектируемых веществ
- Низкая стоимость
  - Возможность использования масштабируемых технологий изготовления
- □ Низкое энергопотребление
- Миниатюрность

### Направление работ

Общее направление работ: разработка мультидетекторного прибора, содержащего как один, так и массив сенсорных элементов, для одновременного выявления нескольких веществ в воздухе, а также определения качественного и количественного состава газовых смесей.

### Возможные постановки задач ММО

Общее направление работ: разработка мультидетекторного прибора, содержащего как один, так и массив сенсорных элементов, для одновременного выявления нескольких веществ в воздухе, а также определения качественного и количественного состава газовых смесей.

Возможные постановки задач, при использовании методов машинного обучения:

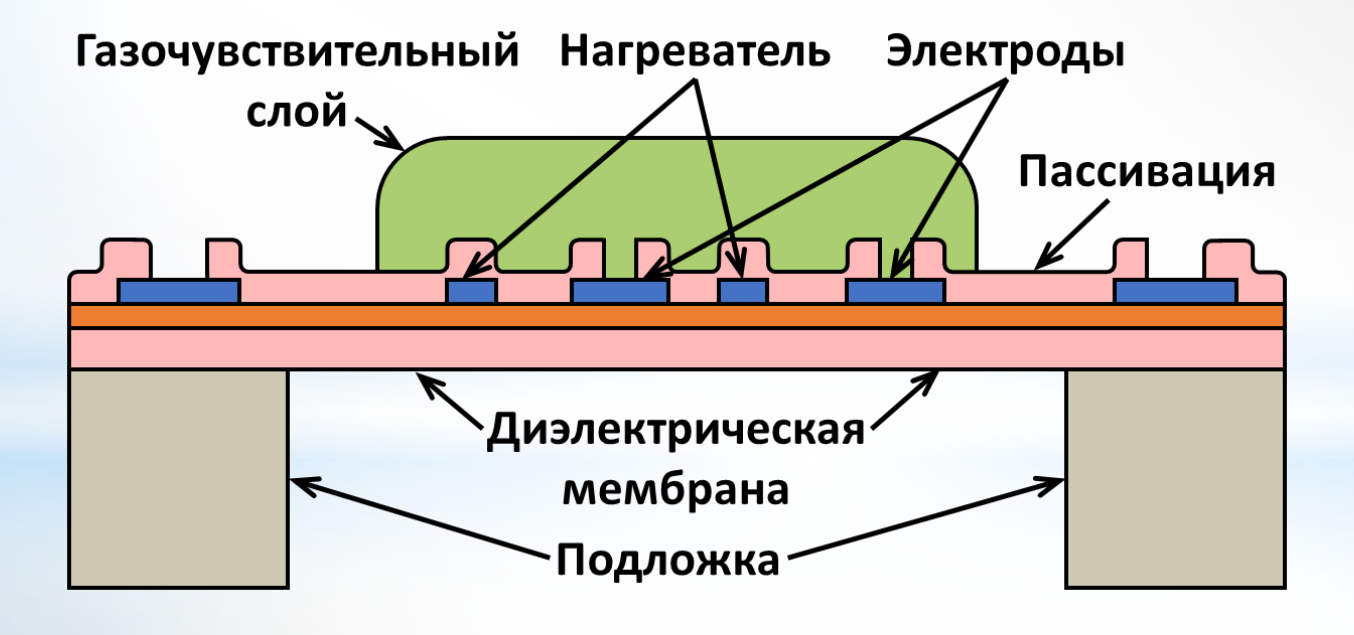
- Регрессия
  - Определение концентрации конкретного газа в воздухе,
- Бинарная классификация, многоклассовая классификация
  - Определение наличия/отсутствия конкретного газа в воздухе, содержащим примесь одного газа
- □ Многометочная классификация
  - Определение качественного состава газовой смеси из нескольких газов

На этапе набора данных

Планируется

## Полупроводниковый газовый сенсор

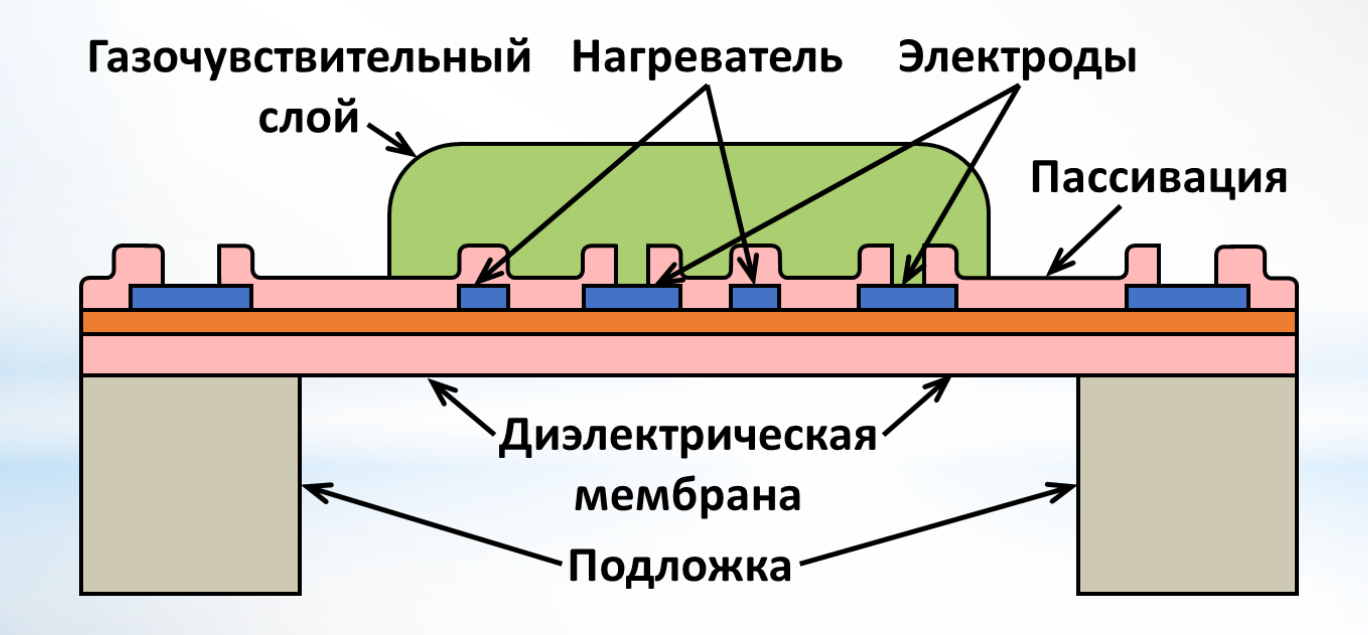
Схематическое устройство полупроводникового газового сенсора



Принцип работы полупроводникового газового сенсора основан на том, что молекулы газа, связывающиеся с материалом сенсора, влияют на его проводимость (электрическое сопротивление).

## Полупроводниковый газовый сенсор

Схематическое устройство полупроводникового газового сенсора

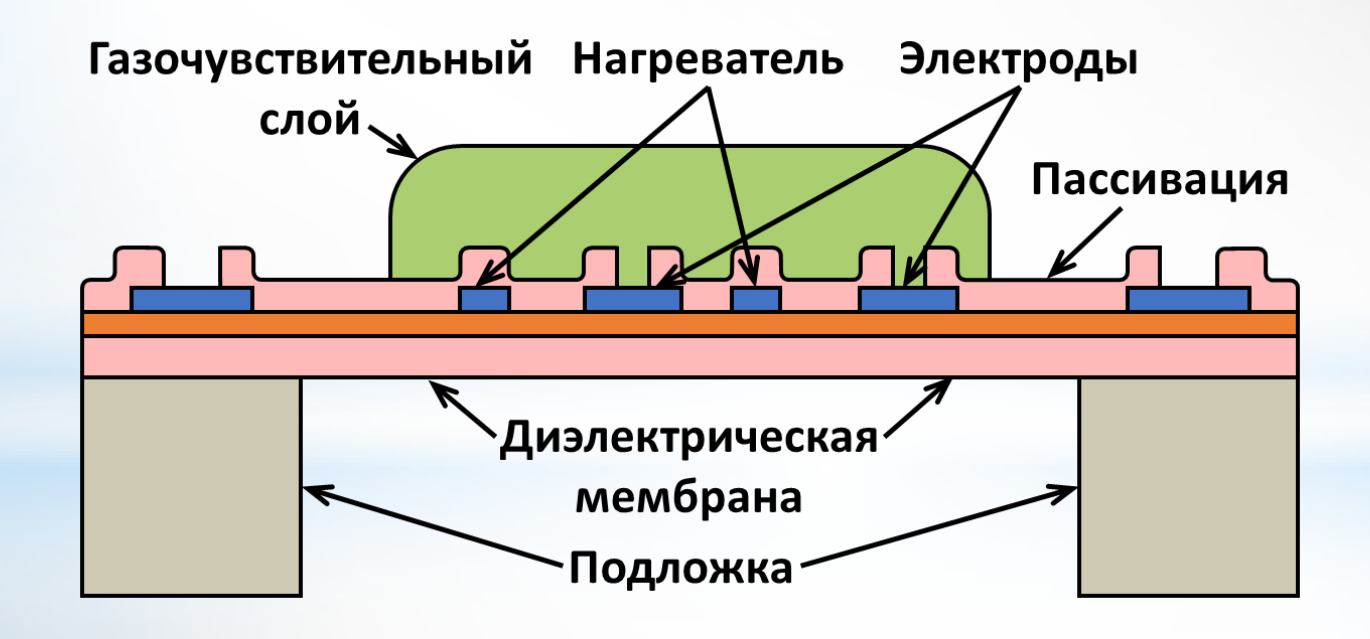


Факторы, влияющие на степень связывания:

- □ Тип газа и его концентрация
- □ Материал датчика
- Температура

### Полупроводниковый газовый сенсор

Схематическое устройство полупроводникового газового сенсора



Факторы, влияющие на степень связывания:

- Тип газа и его концентрация
- □ Материал датчика
- □ Температура

Для достижения селективности

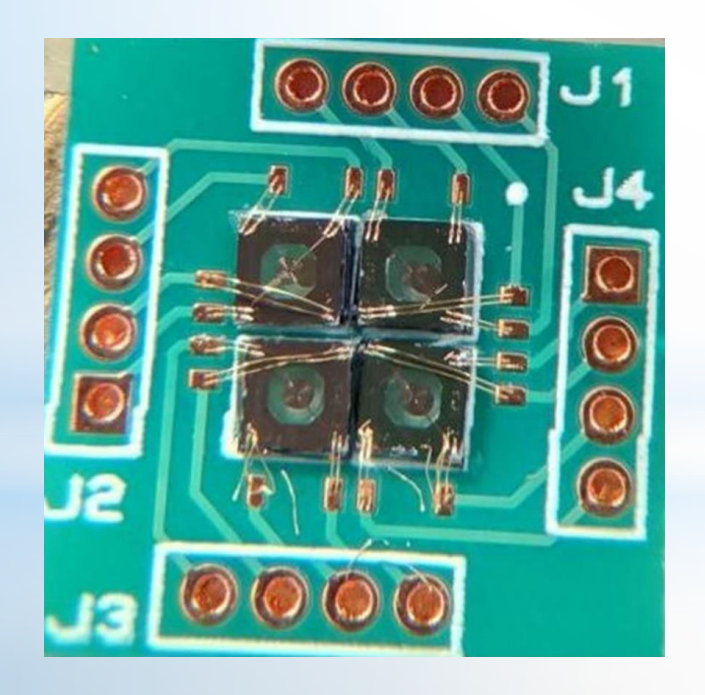
при определении конкретных газов

используется комплект сенсоров

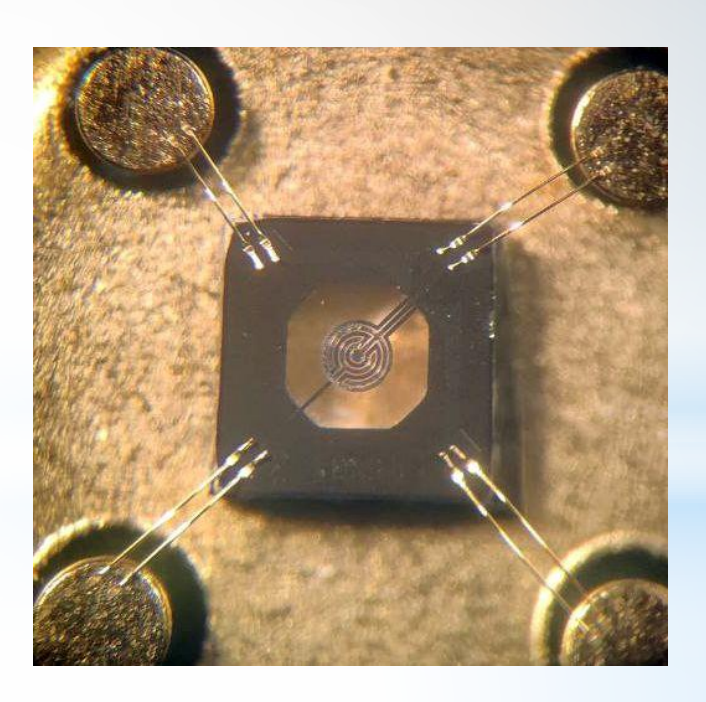
с различными легирующими добавками

### Полупроводниковый газовый сенсор

Комплект сенсорных элементов







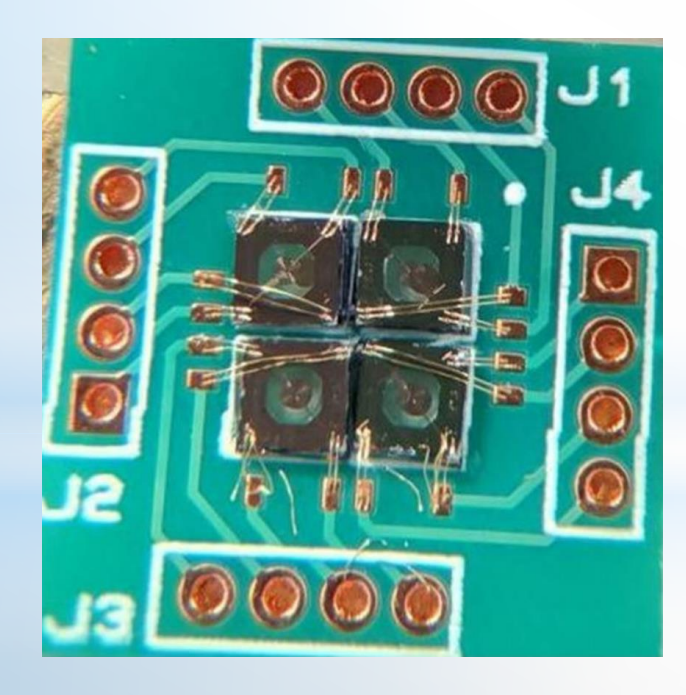
Факторы, влияющие на степень связывания:

- □ Тип газа и его концентрация
- □ Материал датчика
- Температура

Для достижения селективности при определении конкретных газов используется комплект сенсоров с различными легирующими добавками

### Полупроводниковый газовый сенсор

### Комплект сенсорных элементов



### SnO<sub>2</sub>

- 1. SnO<sub>2</sub>;
- 2.  $SnO_2 Ru$ ; 10.  $TiO_2 Cr Au$ ;
- 3.  $SnO_2 Au$ ; 11.  $TiO_2 Nb Au$ ;
- 4.  $SnO_2 Pt$ ;
- 5.  $SnO_2 Pd$ ;
- 6.  $SnO_2 Cr Nb$ ;
- 7.  $SnO_2 Si$ ;
- 8.  $SnO_2 Si Au$ ;



TiO<sub>2</sub>

9.  $TiO_2 - Cr$ ;

12.  $TiO_2 - Nb$ 

Факторы, влияющие на степень связывания:

- □ Тип газа и его концентрация
- □ Материал датчика
- □ Температура

Для достижения селективности

при определении конкретных газов

используется комплект сенсоров

с различными легирующими добавками

### Полупроводниковый газовый сенсор

### Динамики нагрева

Факторы, влияющие на степень связывания:

- Тип газа и его концентрация
- Материал датчика
- Температура

- Степень связывания молекул газа уменьшается с повышением температуры.
- Необходим нагрев для приведения датчика в исходное состояние.
- Для обеспечения

   временного разрешения
   необходимо использовать
   циклический нагрев и охлаждение.

# Полупроводниковый газовый сенсор

### Динамики нагрева

Факторы, влияющие на степень связывания:

- Тип газа и его концентрация
- □ Материал датчика
- Температура



• Электрическое сопротивление полупроводниковых материалов также зависит от температуры.

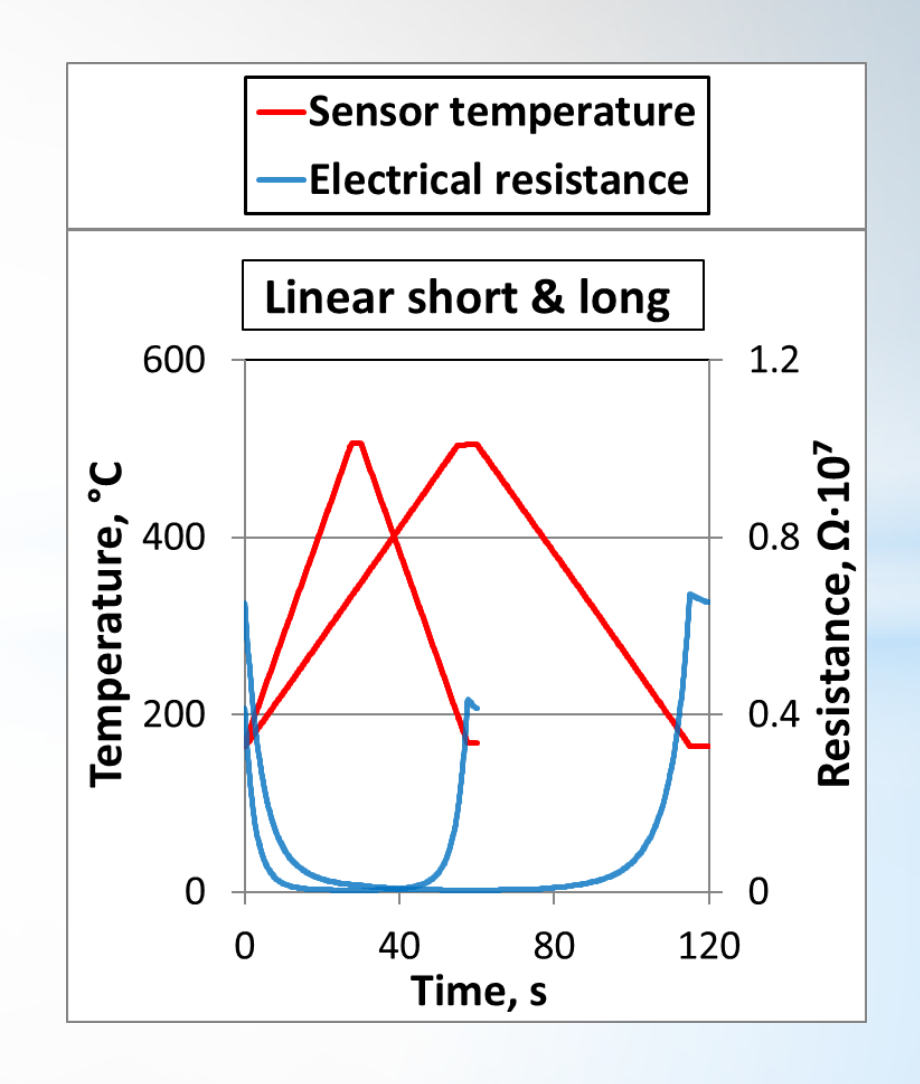


т. н. динамики нагрева.

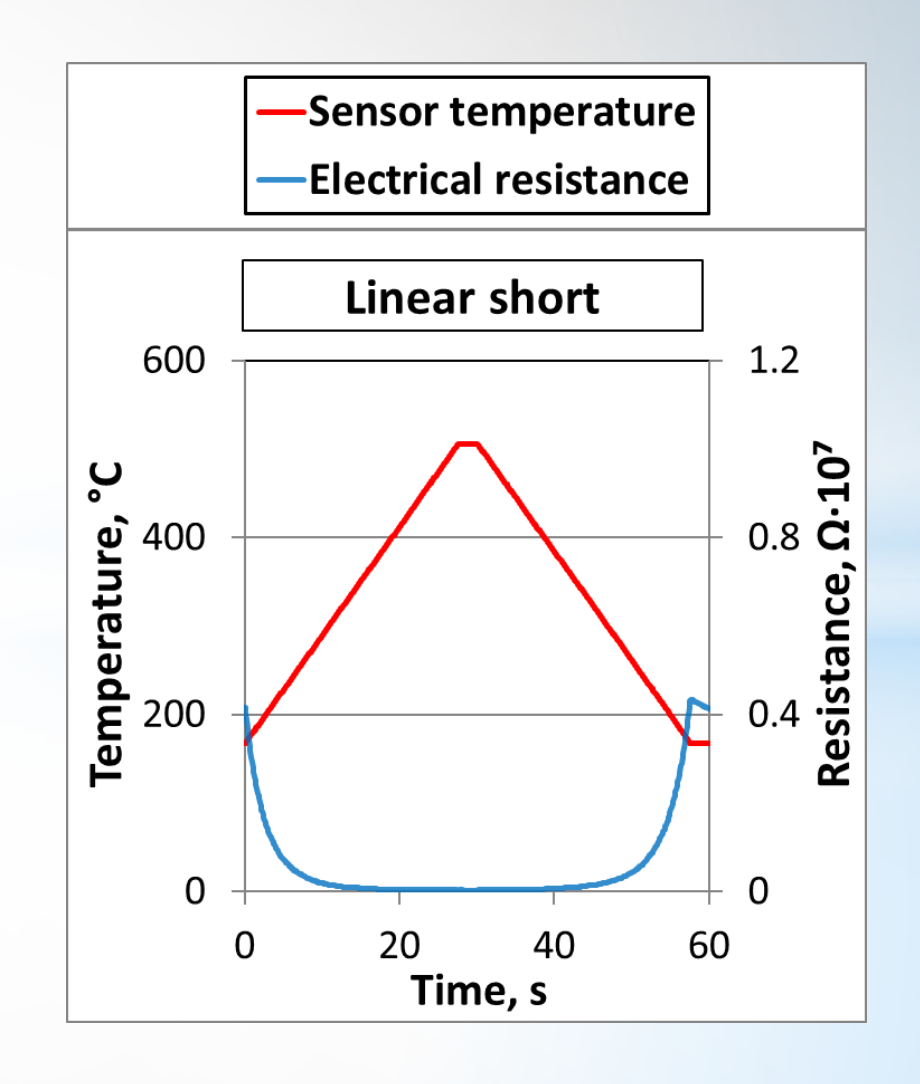
Для повышения селективности определения газов использовались различные температурные режимы работы:

- Степень связывания молекул газа уменьшается с повышением температуры.
- Необходим нагрев для приведения датчика в исходное состояние.
- Для обеспечения временного разрешения необходимо использовать циклический нагрев и охлаждение.

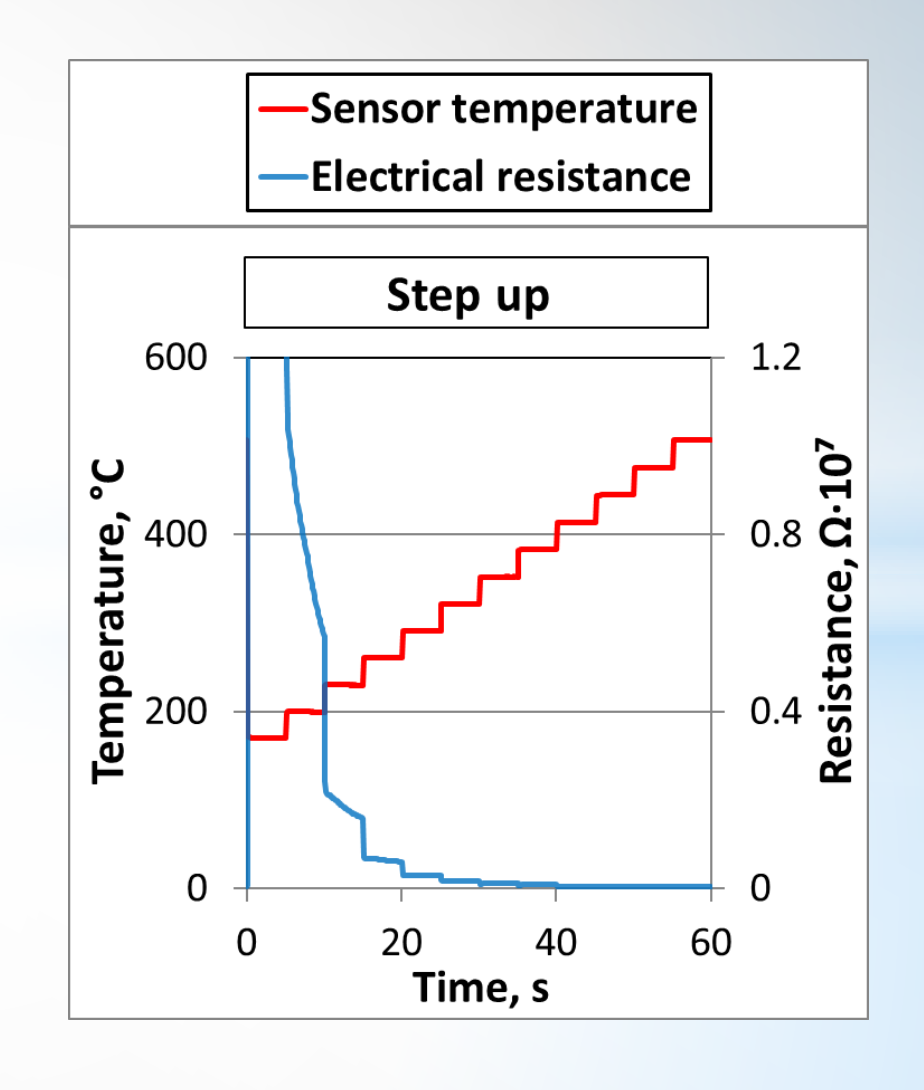
- □ Линейный нагрев и охлаждение
  - Линейный длинный
  - Линейный короткий
- Ступенчатое плавное повышение или понижение температуры
  - Пошаговый вверх
  - Пошаговый вниз
- □ Ступенчатое плавное повышение или понижение температуры с кратковременными импульсными скачками температуры до максимума.
  - Импульсный вверх
  - Импульсный вниз



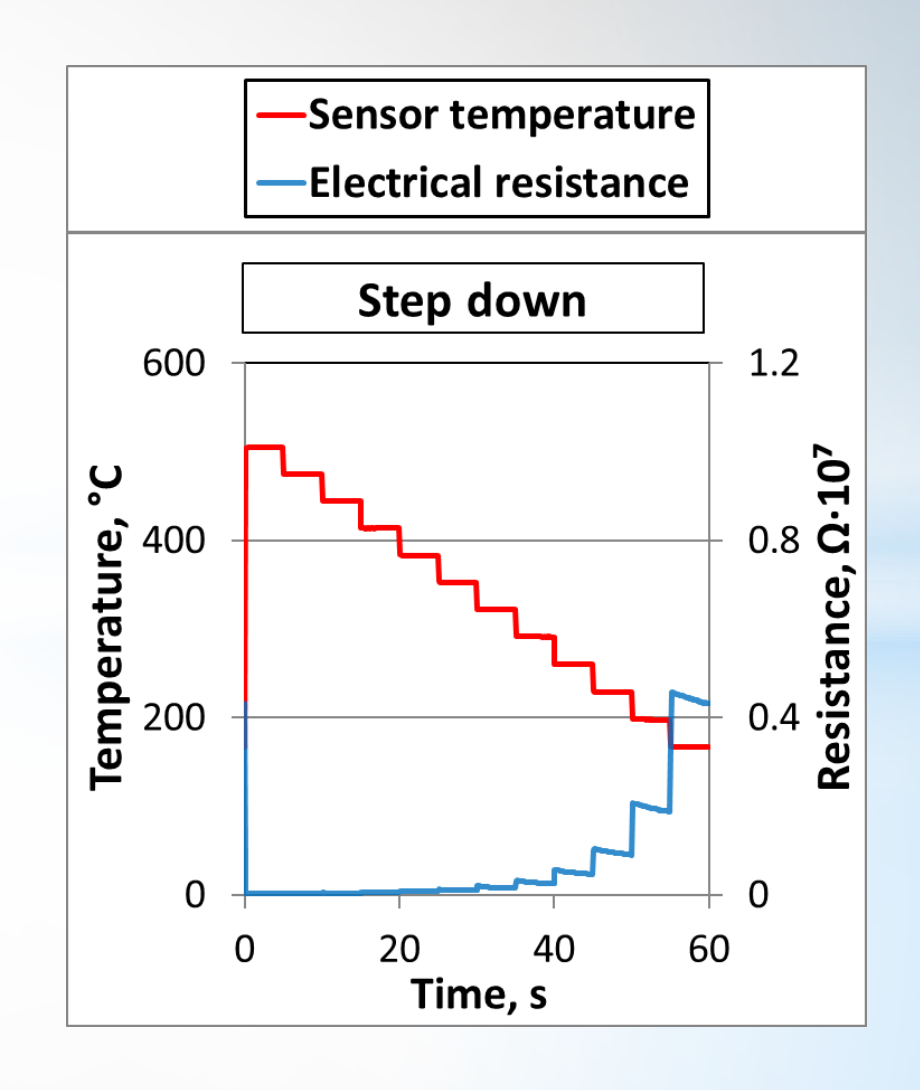
- □ Линейный нагрев и охлаждение
  - Линейный длинный
  - Линейный короткий
- Ступенчатое плавное повышение или понижение температуры
  - Пошаговый вверх
  - Пошаговый вниз
- Ступенчатое плавное повышение или понижение температуры с кратковременными импульсными скачками температуры до максимума.
  - Импульсный вверх
  - Импульсный вниз



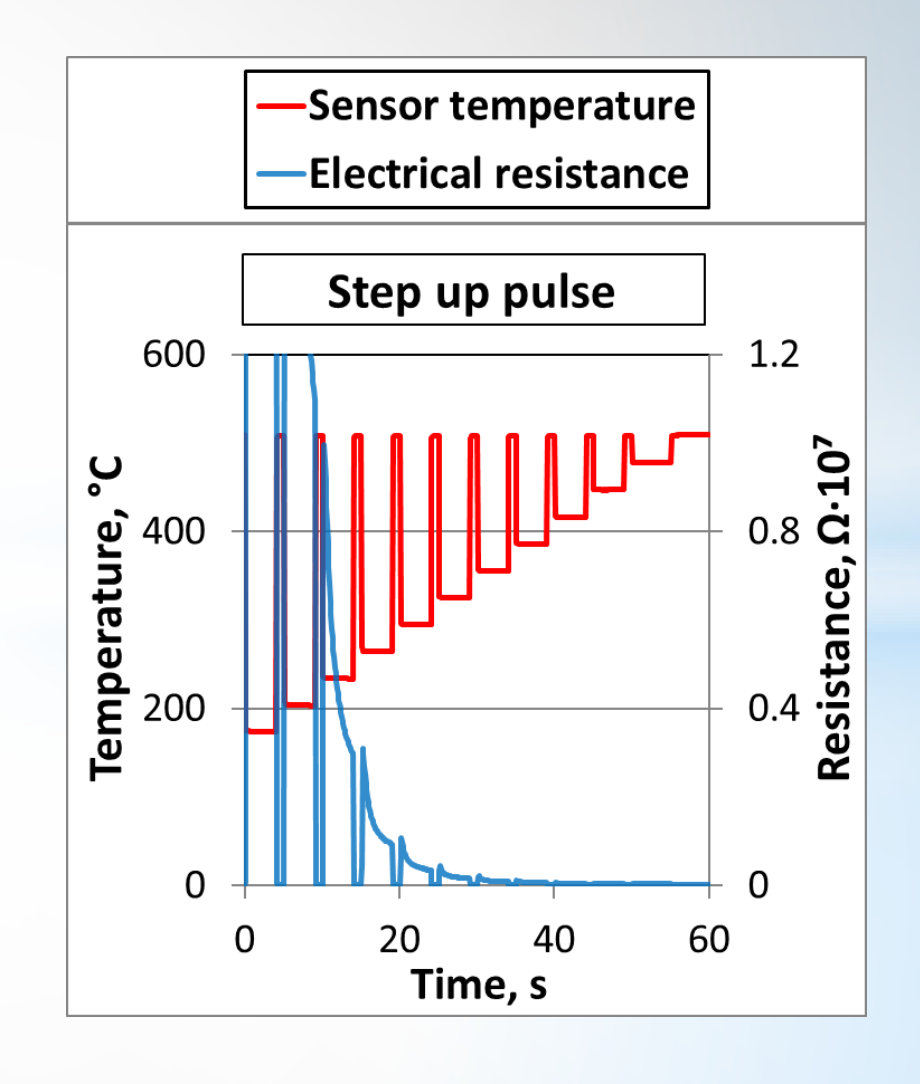
- □ Линейный нагрев и охлаждение
  - Линейный длинный
  - Линейный короткий
- Ступенчатое плавное повышение или понижение температуры
  - Пошаговый вверх
  - Пошаговый вниз
- □ Ступенчатое плавное повышение или понижение температуры с кратковременными импульсными скачками температуры до максимума.
  - Импульсный вверх
  - Импульсный вниз



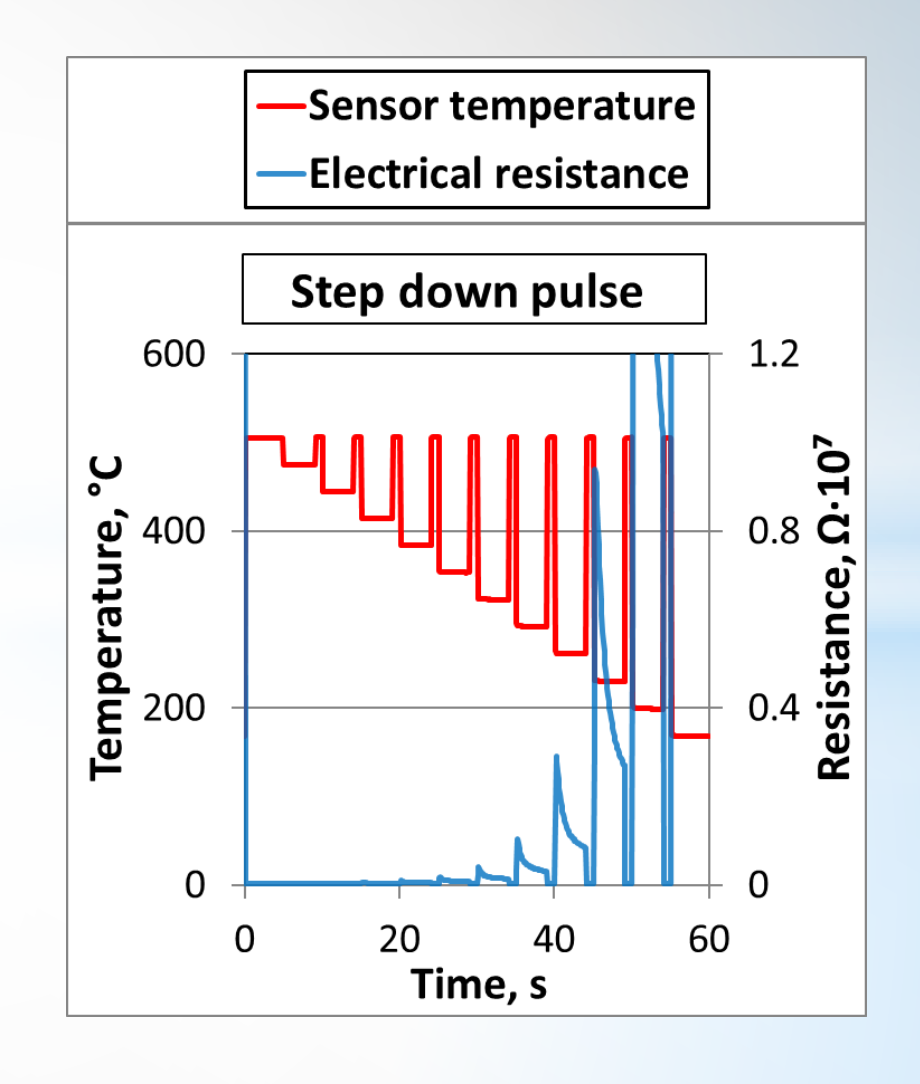
- □ Линейный нагрев и охлаждение
  - Линейный длинный
  - Линейный короткий
- Ступенчатое плавное повышение или понижение температуры
  - Пошаговый вверх
  - Пошаговый вниз
- Ступенчатое плавное повышение или понижение температуры с кратковременными импульсными скачками температуры до максимума.
  - Импульсный вверх
  - Импульсный вниз



- □ Линейный нагрев и охлаждение
  - Линейный длинный
  - Линейный короткий
- Ступенчатое плавное повышение или понижение температуры
  - Пошаговый вверх
  - Пошаговый вниз
- □ Ступенчатое плавное повышение или понижение температуры с кратковременными импульсными скачками температуры до максимума.
  - Импульсный вверх
  - Импульсный вниз

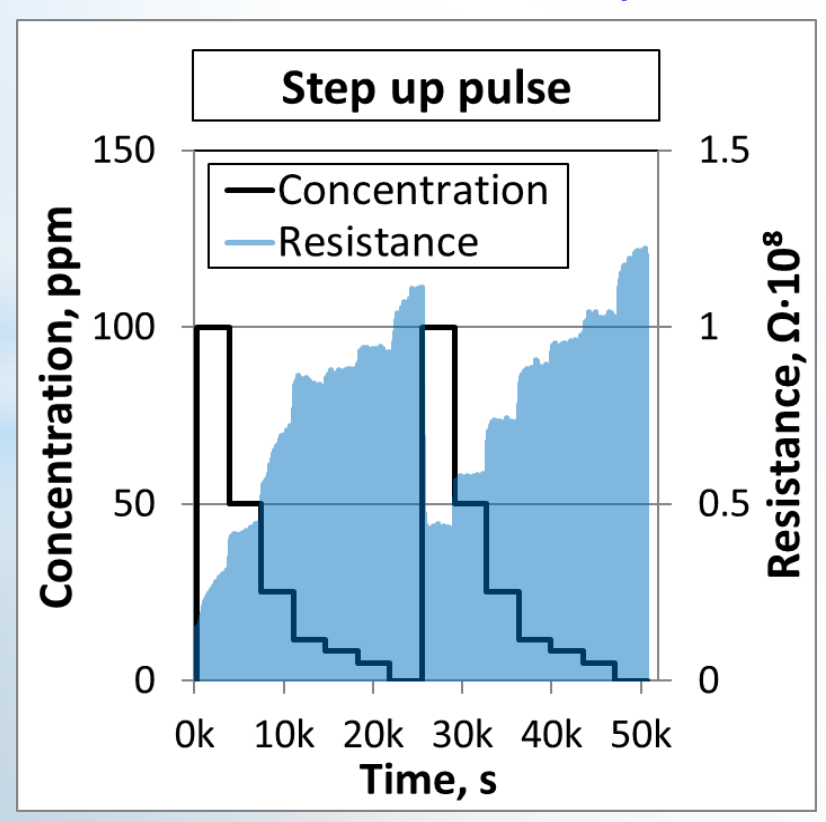


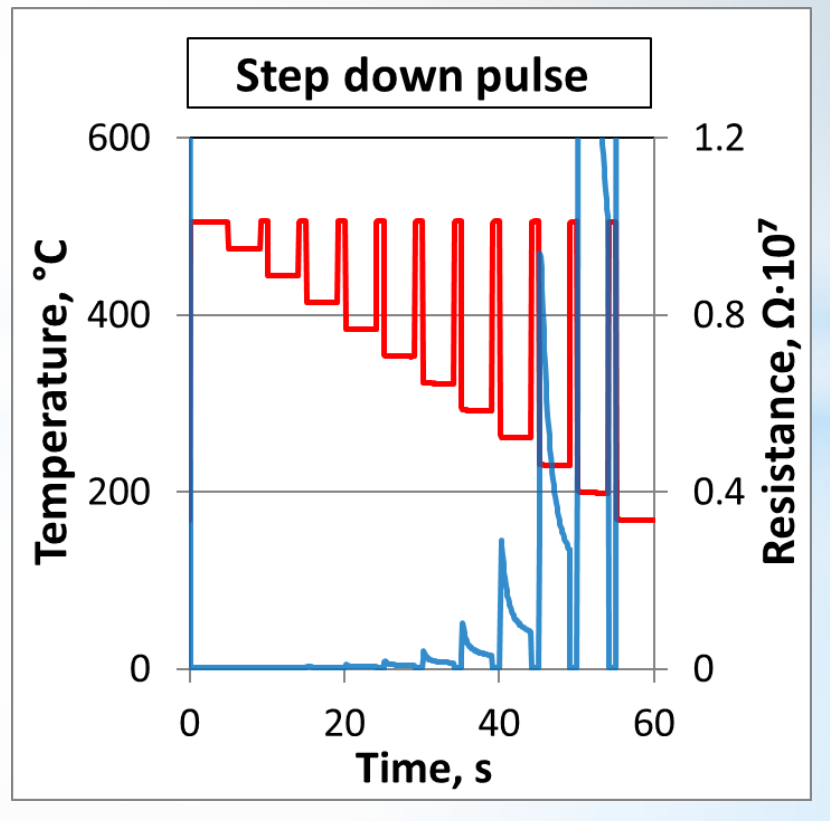
- □ Линейный нагрев и охлаждение
  - Линейный длинный
  - Линейный короткий
- Ступенчатое плавное повышение или понижение температуры
  - Пошаговый вверх
  - Пошаговый вниз
- Ступенчатое плавное повышение или понижение температуры с кратковременными импульсными скачками температуры до максимума.
  - Импульсный вверх
  - Импульсный вниз



### Концентрации газов

В ходе эксперимента были собраны формы сенсорного отклика от 12 датчиков при 6 различных динамиках нагрева и 6 различных концентрациях газа. Несколько серий.

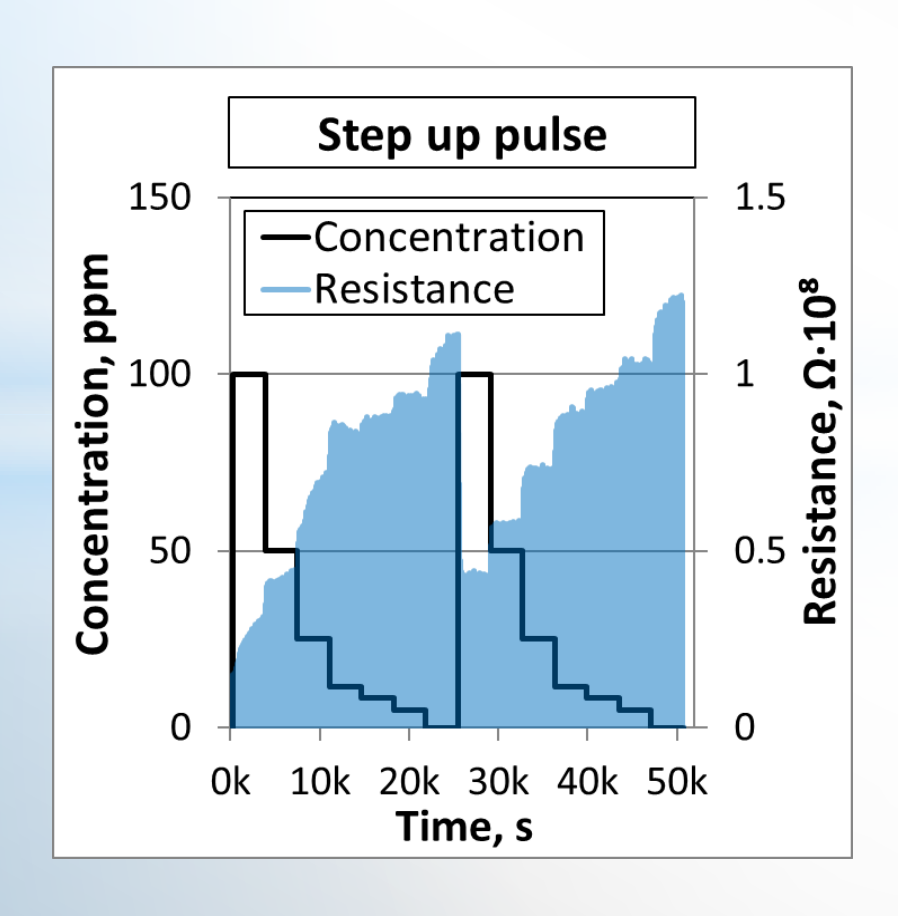




В атмосфере чистого воздуха, а также в воздухе с примесью газов: CO, H<sub>2</sub>, CH<sub>4</sub>, NH<sub>3</sub>, NO, NO<sub>2</sub>, H<sub>2</sub>S, SO<sub>2</sub>, HCOH (только один газ в каждом эксперименте)

### Подготовка и предобработка данных

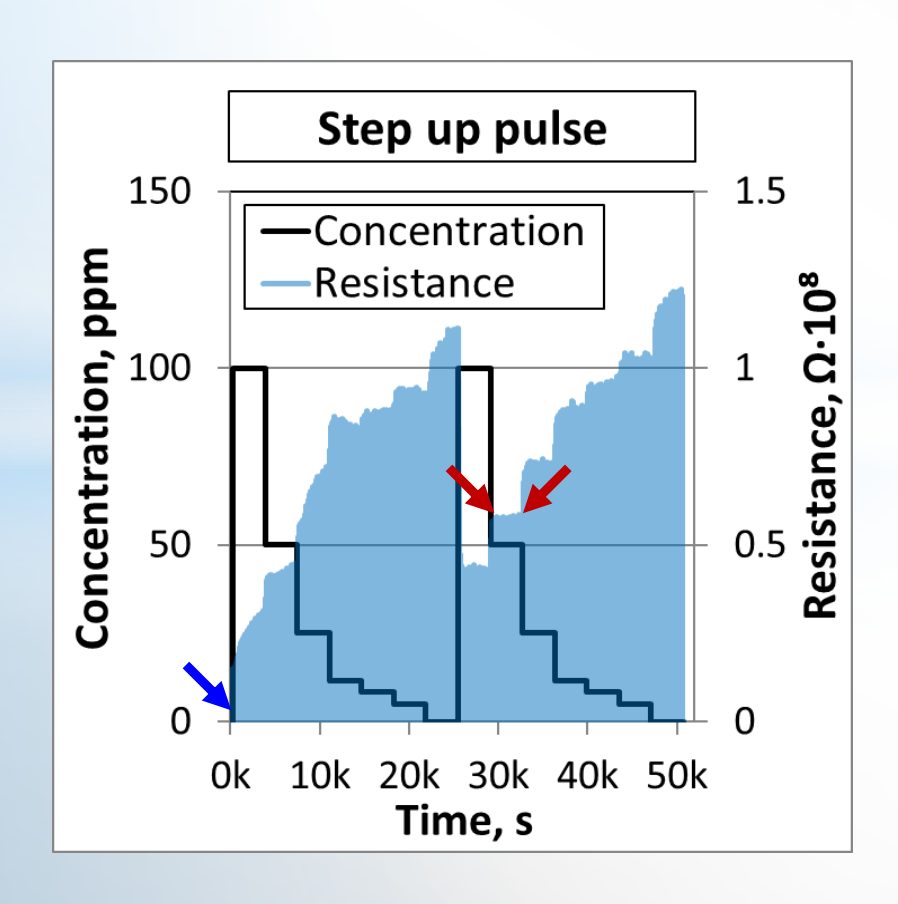
Этапы подготовки и предобработки данных:



- 1. Преобразование данных в формат:
  - 1 цикл динамики нагрева –
  - 1 пример набора данных.
- 2. Замена значений сенсорного отклика выше 10<sup>10</sup> Ом на фиксированное значение 10<sup>10</sup> Ом, и ниже 10 Ом на фиксированное значение 10 Ом.

### Подготовка и предобработка данных

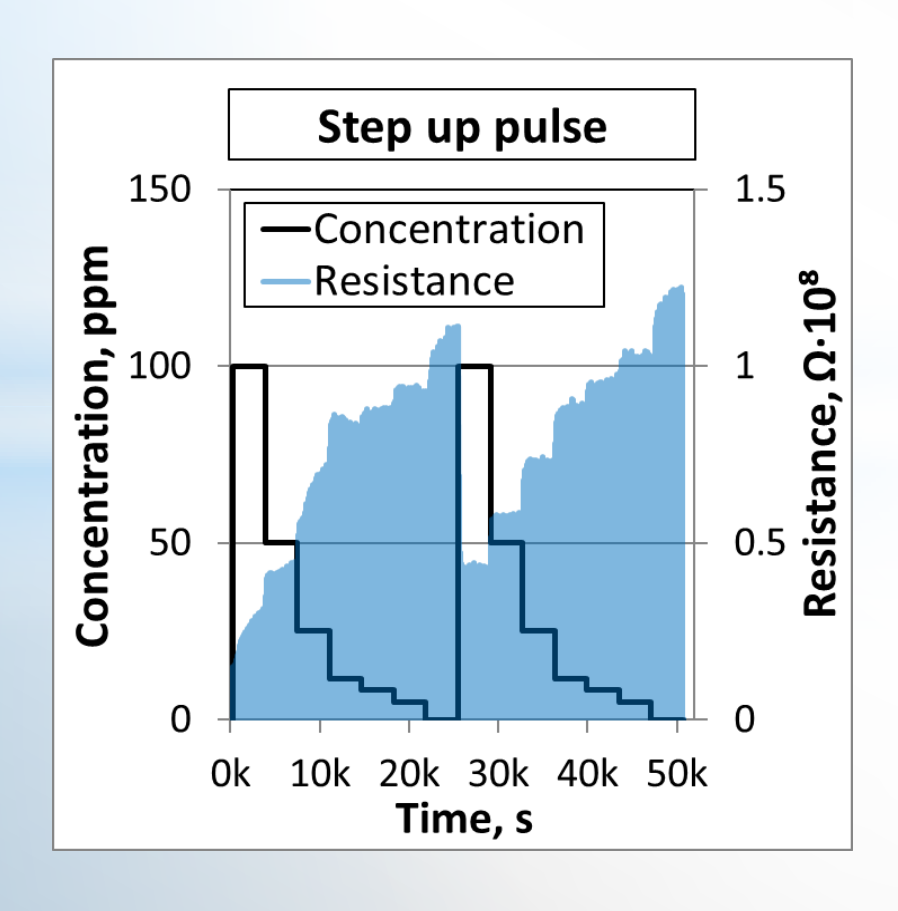
Этапы подготовки и предобработки данных:



- 3. Исключение участков данных, где производилась продувка экспериментальной установки: первые несколько циклов в каждом отдельном эксперименте.
- 4. Исключение первых нескольких циклов после изменения концентрации и нескольких циклов непосредственно перед изменением концентрации.

### Подготовка и предобработка данных

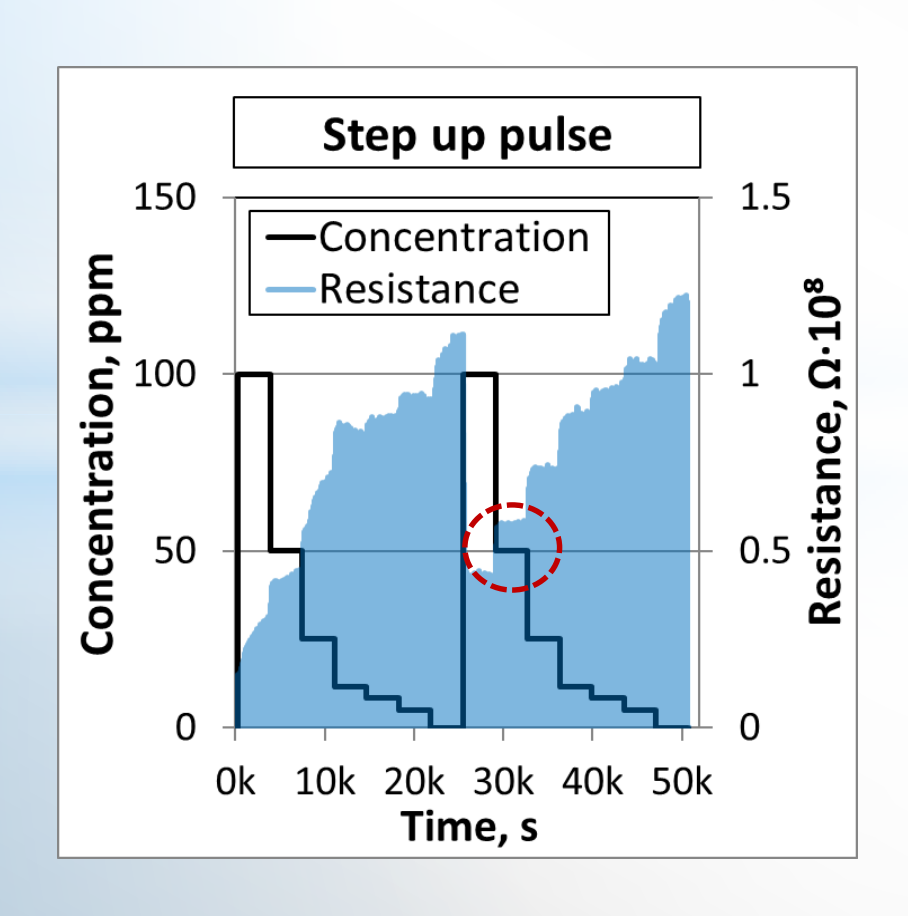
Этапы подготовки и предобработки данных:



- 5. Логарифмирование значений сенсорного отклика.
- 6. Масштабирование значений концентрации газов на диапазон минимума-максимума.

### Подготовка и предобработка данных

Этапы подготовки и предобработки данных:



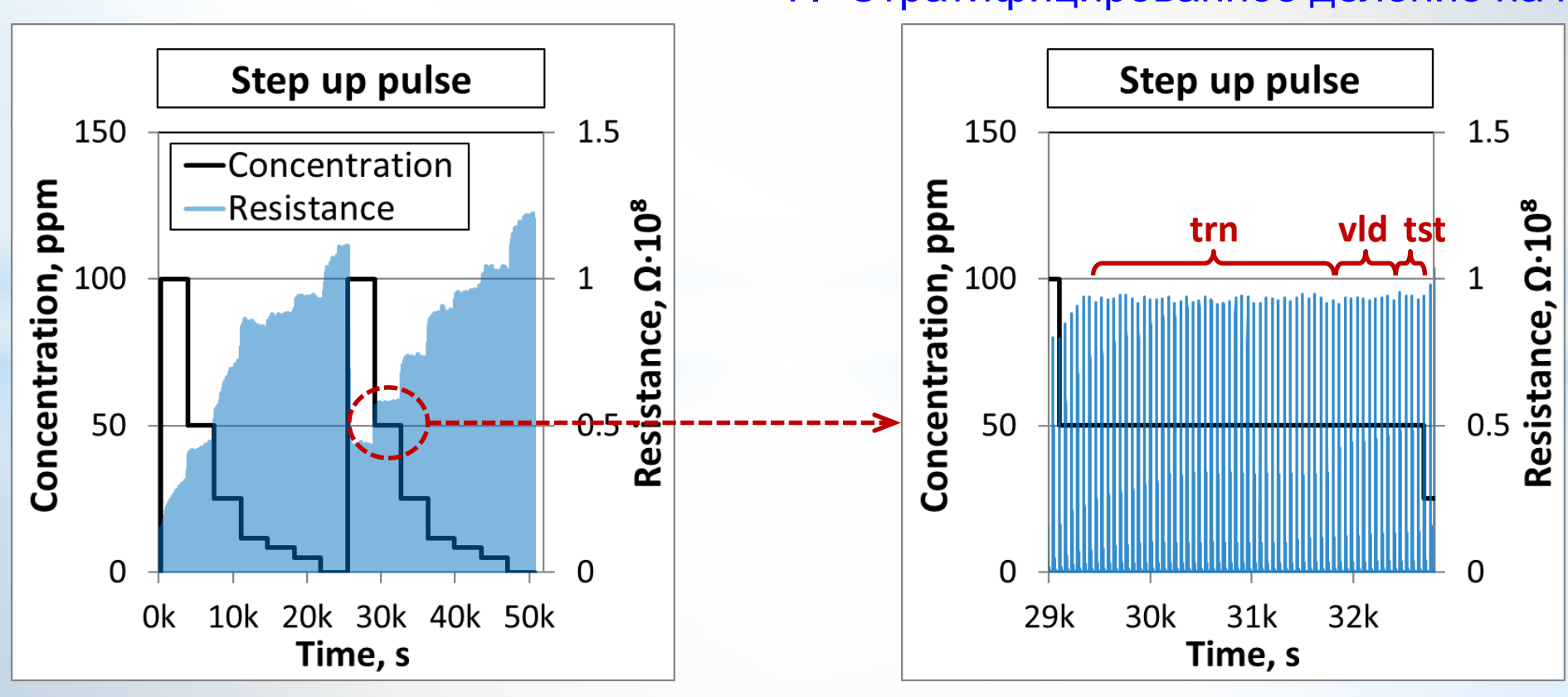
- 7. Стратифицированное деление на поднаборы Из каждой области с фиксированной концентрацией газа:
  - В тренировочный набор отбирались первые **n** циклов,
  - Последующие **m** циклов в валидационный набор,
  - Последующие **k** циклов в тестовый набор

Затем процедура повторялась для остальных участков с фиксированной концентрацией.

### Подготовка и предобработка данных

Этапы подготовки и предобработки данных:

7. Стратифицированное деление на поднаборы

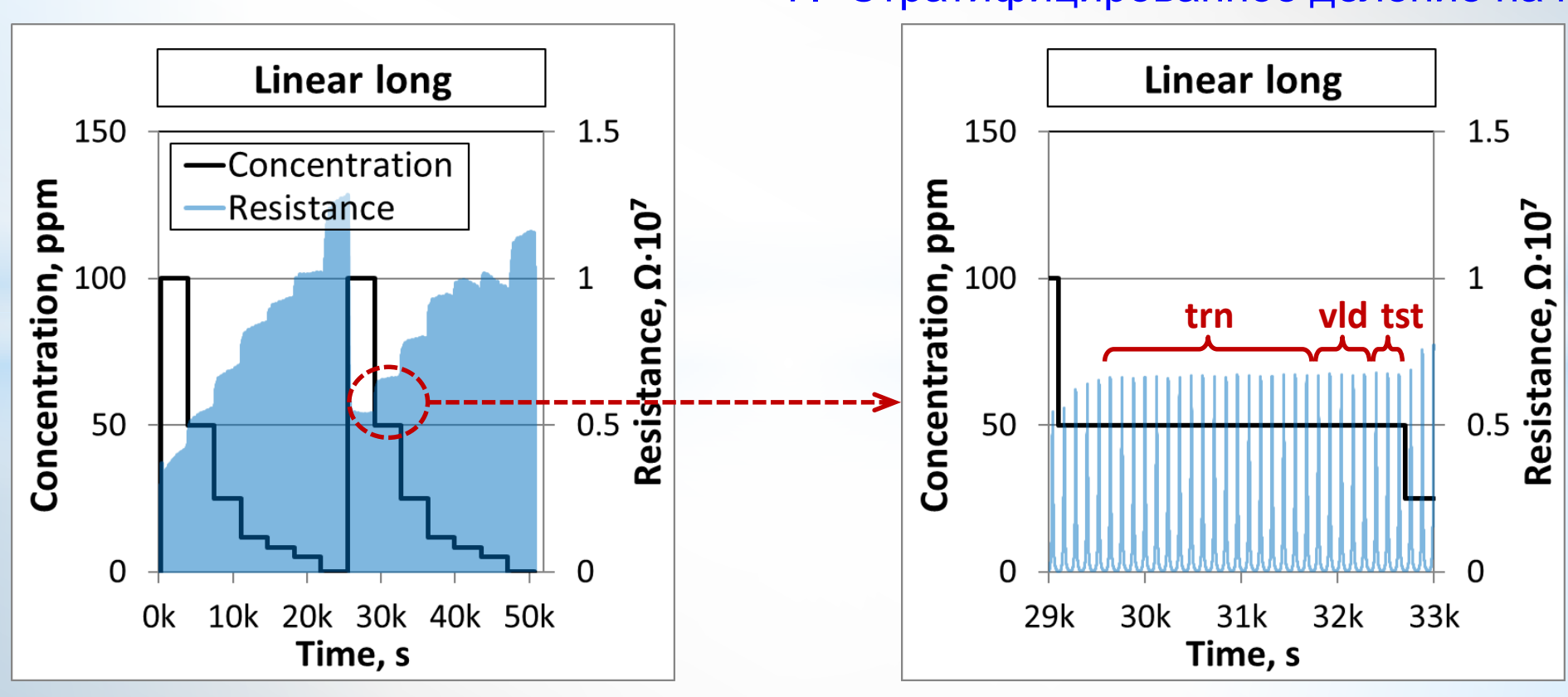


n:m:k = 40:10:5

### Подготовка и предобработка данных

Этапы подготовки и предобработки данных:

7. Стратифицированное деление на поднаборы



n:m:k = 18:5:3

## Методы машинного обучения

- □ Линейная и логистическая регрессия
  - Без регуляризации
  - C L1 или L2 регуляризацией
- Деревья решений
  - Случайный лес
  - Градиентный бустинг
- □ Многослойный персептрон

Все методы показали качественно похожие результаты

### Постановка задачи

### Эксперимент №1

- □ Оценка чувствительности сенсоров
- □ Использование сенсоров по одному
- Отдельные наборы данных для каждого газа
  - 1 файл 1 газ

### Эксперимент №2

- Оценка селективности сенсоров
- □ Использование комплекта сенсоров
- □ Объединенные наборы данных
  - 1 файл все газы

### Результаты. Эксперимент №1.

# Задача регрессии. Использование одного сенсора.

Качество решения (R<sup>2</sup>) задачи регрессии (тривиальная модель R<sup>2</sup>=0) для различных методов машинного обучения на 1-й серии данных

LR-L1

Gas		Sensor No												
Gas	1	. 2	3	4	5	6	7	8	9	10	11	12		
CH₄	0.922	0.942	0.923	0.907	0.939	0.585	0.921	0.946	0.258	0.357	0.855	0.833		
СО	0.961	0.966	0.965	0.959	0.967	0.933	0.951	0.972	0.945	0.956	0.976	0.853		
H <sub>2</sub>	0.984	0.978	0.968	0.938	0.943	0.935	0.957	0.938	0.317	0.930	0.917	0.755		
H₂S	0.987	0.992	0.984	0.972	0.985	0.905	0.969	0.993	0.971	0.985	0.901	0.820		
НСО	<b>H</b> 0.943	0.949	0.957	0.943	0.963	0.937	0.960	0.962	0.953	0.951	0.811	0.887		
NH <sub>3</sub>	0.926	0.967	0.957	0.923	0.933	0.853	0.960	0.962	0.967	0.961	0.656	0.804		
NO	0.788	0.795	0.866	0.837	0.837	0.808	0.897	0.890	0.861	0.862	0.529	0.678		
NO <sub>2</sub>	0.817	0.840	0.856	0.831	0.801	0.837	0.851	0.857	0.641	0.655	0.410	0.545		
SO <sub>2</sub>	0.644	0.658	0.661	0.657	0.730	0.496	0.678	0.681	0.503	0.508	0.545	0.560		

Gas	Sensor No													
	1	2	3	4	5	6	7	8	9	10	11	12		
CH₄	0.977	0.983	0.978	0.972	0.977	0.647	0.981	0.983	0.408	0.466	0.883	0.793		
СО	0.980	0.986	0.989	0.983	0.978	0.964	0.990	0.987	0.953	0.977	0.981	0.803		
H <sub>2</sub>	0.994	0.991	0.986	0.984	0.968	0.985	0.988	0.984	0.469	0.919	0.938	0.708		
H₂S	0.991	0.995	0.995	0.993	0.993	0.955	0.994	0.996	0.982	0.993	0.900	0.685		
нсон	0.980	0.989	0.984	0.985	0.978	0.966	0.990	0.991	0.973	0.974	0.880	0.913		
NH₃	0.982	0.992	0.985	0.984	0.985	0.959	0.987	0.991	0.988	0.989	0.816	0.629		
NO	0.929	0.926	0.949	0.948	0.948	0.888	0.964	0.954	0.931	0.933	0.785	0.718		
NO <sub>2</sub>	0.909	0.890	0.921	0.878	0.863	0.838	0.903	0.896	0.819	0.824	0.609	0.091		
SO <sub>2</sub>	0.794	0.818	0.812	0.782	0.849	0.688	0.833	0.846	0.592	0.621	0.581	0.606		

2	0.994	0.991	0.986	0.984	0.968	0.985	0.988	0.984	0.469	0.919	0.938	0.708	N
<sub>2</sub> S	0.991	0.995	0.995	0.993	0.993	0.955	0.994	0.996	0.982	0.993	0.900	0.685	•
сон	0.980	0.989	0.984	0.985	0.978	0.966	0.990	0.991	0.973	0.974	0.880	0.913	
Н₃	0.982	0.992	0.985	0.984	0.985	0.959	0.987	0.991	0.988	0.989	0.816	0.629	
0	0.929	0.926	0.949	0.948	0.948	0.888	0.964	0.954	0.931	0.933	0.785	0.718	
O2	0.909	0.890	0.921	0.878	0.863	0.838	0.903	0.896	0.819	0.824	0.609	0.091	
O <sub>2</sub>	0.794	0.818	0.812	0.782	0.849	0.688	0.833	0.846	0.592	0.621	0.581	0.606	

Gas  CH <sub>4</sub> CO  H <sub>2</sub> H <sub>2</sub> S  HCOH  NH <sub>3</sub>		Sensor No												
Gas	1	2	3	4	5	6	7	8	9	10	11	12		
CH₄	1.000	1.000	0.999	0.999	1.000	0.844	1.000	1.000	0.994	0.983	0.966	0.921		
СО	1.000	1.000	1.000	1.000	1.000	0.984	1.000	1.000	0.999	1.000	0.996	0.960		
H <sub>2</sub>	1.000	1.000	1.000	1.000	1.000	1.000	1.000	1.000	0.993	0.998	1.000	0.972		
H₂S	1.000	1.000	1.000	1.000	1.000	0.954	1.000	1.000	1.000	1.000	0.998	0.938		
нсон	1.000	1.000	1.000	1.000	1.000	0.999	1.000	1.000	1.000	0.999	0.888	0.931		
NH₃	1.000	1.000	1.000	1.000	1.000	1.000	1.000	1.000	1.000	1.000	1.000	0.994		
NO	0.886	0.891	0.934	0.886	0.937	0.861	0.870	0.926	0.988	0.967	0.554	0.487		
NO <sub>2</sub>	0.876	0.966	0.885	0.946	0.914	0.972	0.934	0.863	0.956	0.955	0.594	0.623		
SO <sub>2</sub>	0.822	0.856	0.836	0.894	0.908	0.715	0.812	0.774	0.965	0.959	0.539	0.664		

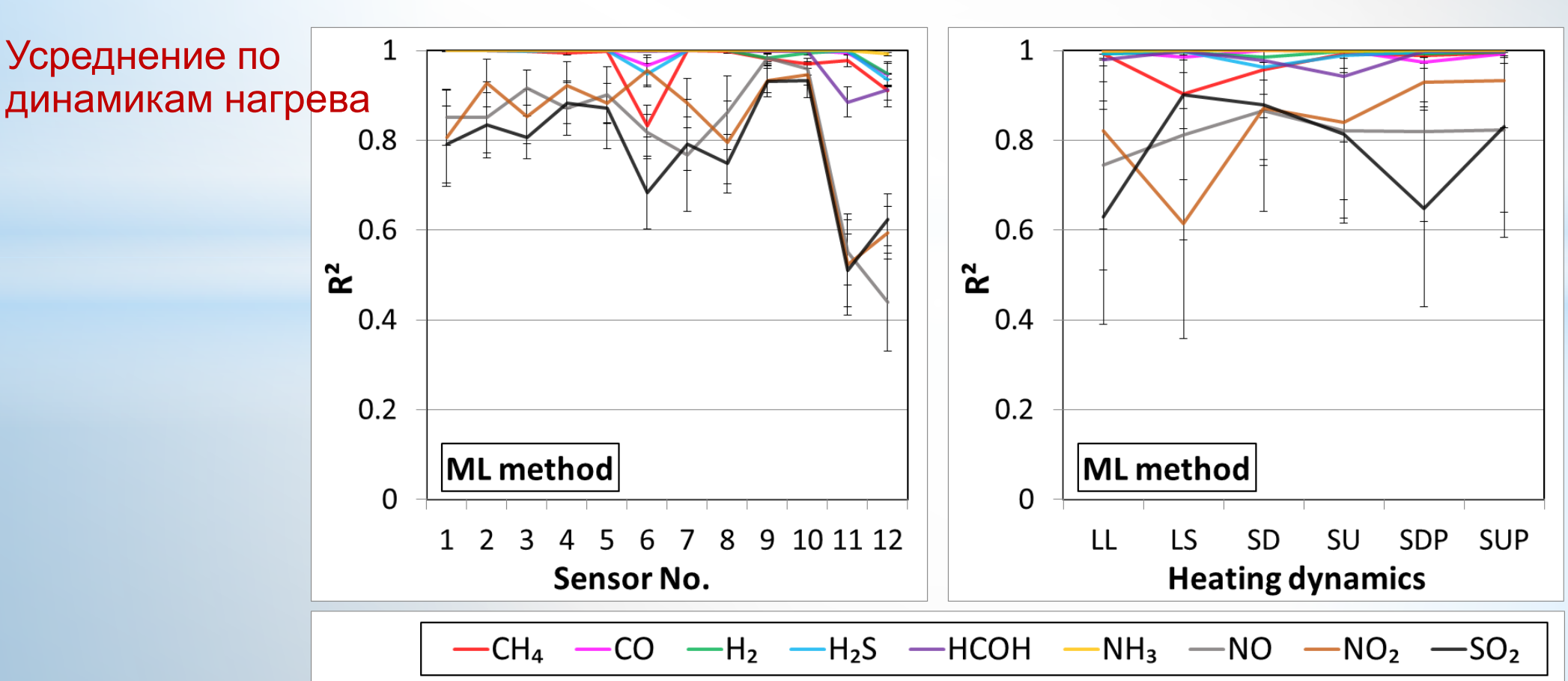
<b>C</b>	Sensor No													
Gas	1	2	3	4	5	6	7	8	9	10	11	12		
CH₄	1.000	1.000	0.999	0.995	0.999	0.832	1.000	0.998	0.981	0.971	0.977	0.911		
СО	1.000	1.000	1.000	1.000	0.999	0.967	1.000	1.000	0.998	0.999	0.994	0.946		
H <sub>2</sub>	1.000	1.000	1.000	1.000	1.000	1.000	1.000	1.000	0.984	0.995	1.000	0.947		
H₂S	1.000	1.000	0.999	1.000	1.000	0.948	1.000	1.000	1.000	1.000	0.999	0.935		
нсон	1.000	1.000	1.000	1.000	1.000	0.999	1.000	1.000	0.999	0.999	0.885	0.913		
NH₃	1.000	1.000	1.000	1.000	1.000	1.000	1.000	1.000	1.000	1.000	1.000	0.992		
NO	0.850	0.851	0.917	0.871	0.901	0.818	0.767	0.861	0.984	0.960	0.550	0.439		
NO₂	0.806	0.927	0.853	0.922	0.883	0.955	0.883	0.795	0.933	0.946	0.523	0.594		
SO₂	0.791	0.834	0.806	0.883	0.872	0.683	0.792	0.748	0.931	0.934	0.511	0.623		

**GB** 

### Результаты. Эксперимент №1.

### Задача регрессии. Использование одного сенсора.

Усредненное качество решения (R²) по различным сенсорам и динамикам нагрева для градиентного бустинга на 1-й серии данных



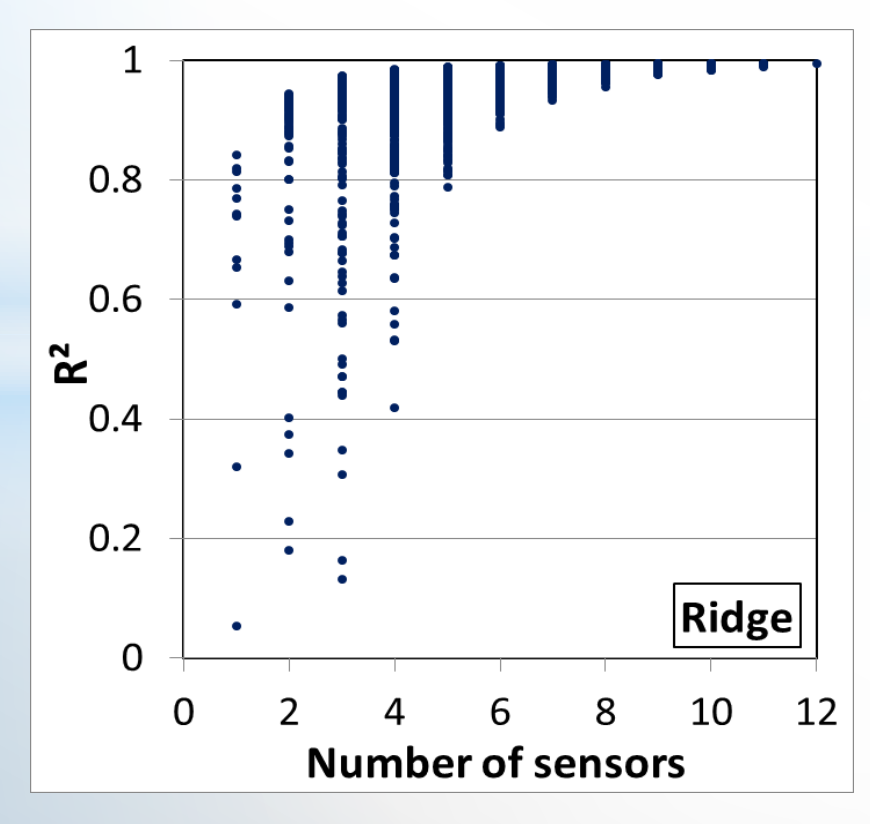
Усреднение по сенсорам

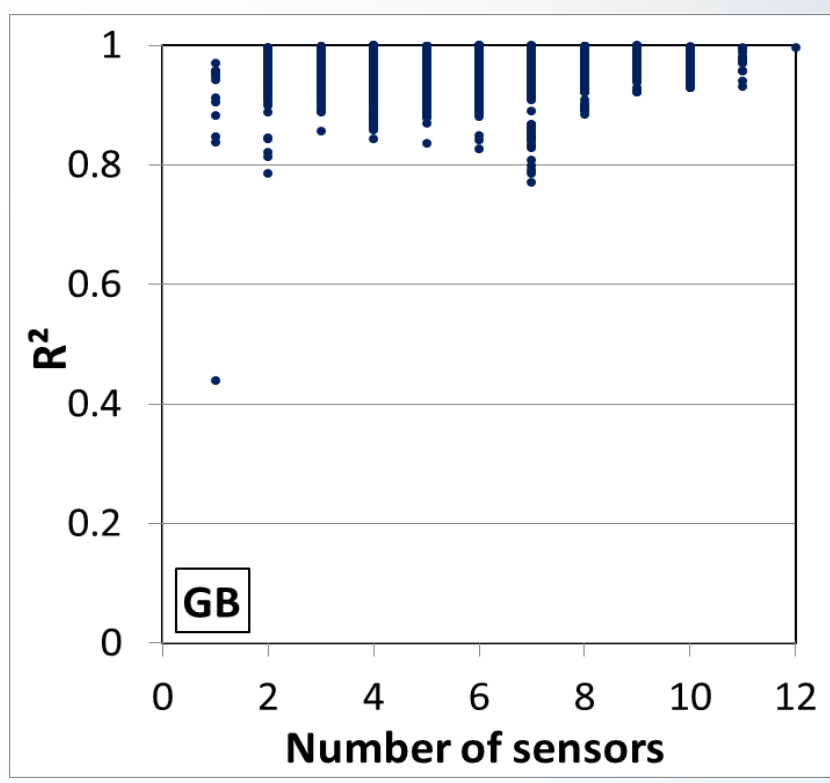
### Результаты. Эксперимент №2.

### Задача регрессии. Использование комплекта сенсоров.

Качество решения (R<sup>2</sup>) для всех сочетаний сенсоров.

Газ – СН<sub>4</sub>, линейная короткая динамика нагрева, 1-я серия данных.





### Заключение

### Выводы

- □ Наилучшая динамика нагрева линейная длинная
  - ✓ Уменьшение длины (линейная короткая) динамики нагрева приводит к ухудшению качества решения.
- □ Динамики нагрева с повышением температуры
   показывают лучшие результаты, чем с понижением температуры.
- □ Сенсоры на основе SnO<sub>2</sub> в среднем показывают лучшие результаты, чем сенсоры на основе TiO<sub>2</sub>.
- Хуже всего определяются концентрации газов NO, NO₂, SO₂

### Заключение

### Выводы

- □ При использовании объединенных наборов данных, содержащих все газы, наблюдается ухудшение качества решения регрессионной задачи
- □ Использование данных нескольких сенсоров позволяет улучшить качество решения по сравнению с использованием данных одного сенсора
  - Для линейных методов требуется большее количество сенсоров, используемых одновременно, для получения хорошего качества решения

# Спасибо за внимание!